

Supercondutividade e Teoria BCS

11

Instabilidade de Cooper

Mostramos anteriormente que o efeito combinado da interação elétron-fôton e a renormalização RPA no modelo de Jellium levam a uma interação efetiva entre os elétrons $V_{\text{eff}}^{\text{RPA}}(\vec{q}, i\omega_n)$ dada por:

$$\text{Diagrama de ressonância} \rightarrow V_{\text{eff}}^{\text{RPA}}(\vec{q}, i\omega_n) = W^{\text{RPA}}(\vec{q}, i\omega_n) \frac{(i\omega_n)^2}{(i\omega_n)^2 - \omega_q^2}$$

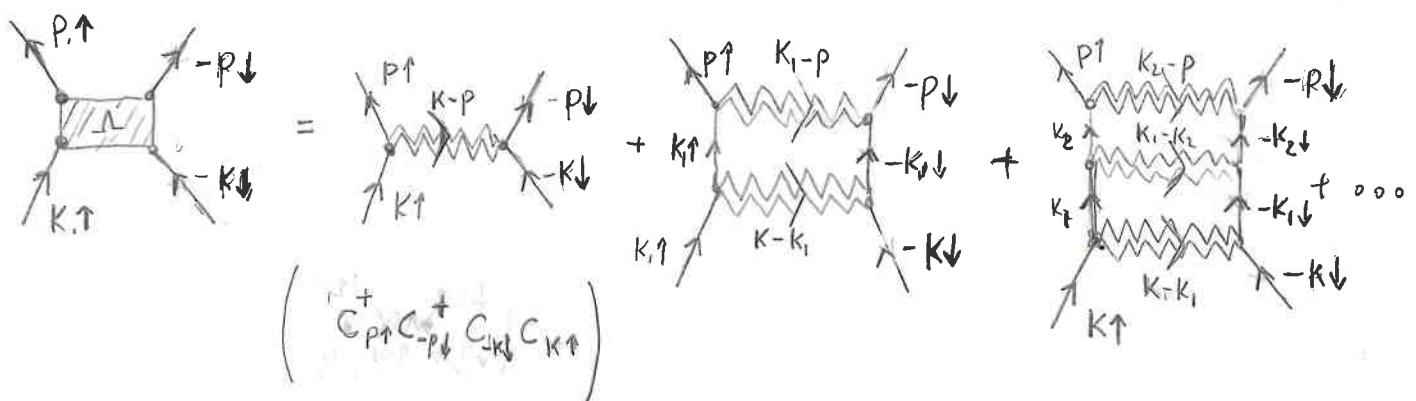
que é atativa para $(i\omega_n) < \omega_q$ onde $\omega_q = \frac{\Omega}{\sqrt{\epsilon^{\text{RPA}}(\vec{q})}} \approx v_s q$ p/ $q \rightarrow 0$

tem uma dispersão tipo fôton acústico.

Essa interação efetiva tem consequências importantes e não triviais.

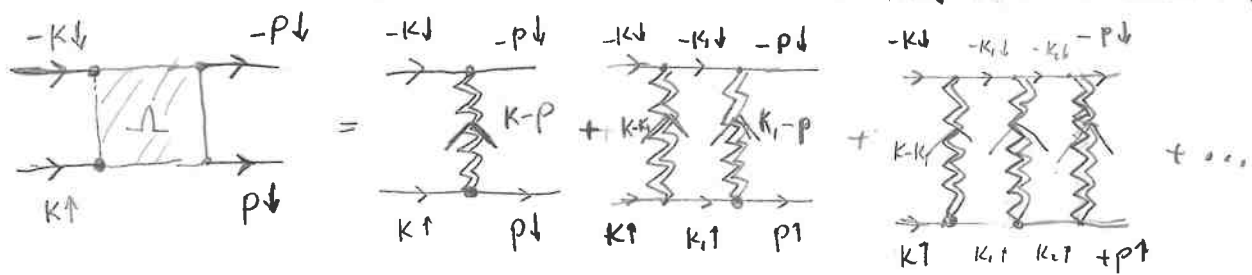
A primeira delas é a tendência do sistema de formar pares de elétrons de momento e spin trocados (relacionados por uma "inversão temporal") abaixo de uma certa temperatura. Esse fenômeno é denominado "instabilidade de Cooper" e pode ser ilustrado diagramaticamente.

Consideremos a interação entre pares de elétrons com momento (e spins) opostos através de $V_{\text{eff}}^{\text{RPA}}(\vec{q})$ na forma: $(K = \vec{k}, i\omega_n)$

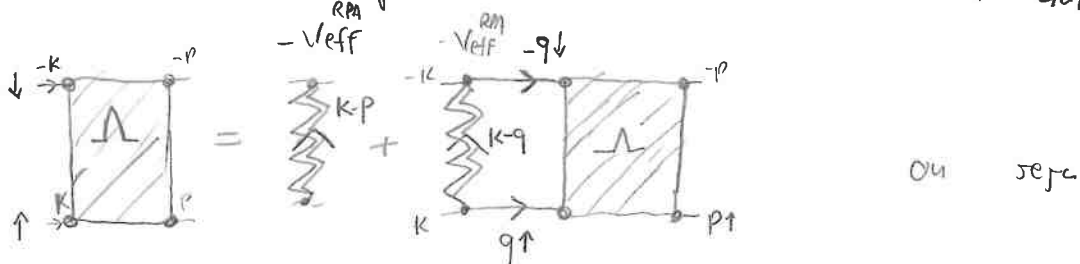


(2)

Escrito de outra forma a função $\Lambda(K, p)$ é um vértice de interações entre pares de elétrons: um par é destruído ($C_{K\downarrow}^+ C_{-K\downarrow}$) e outro criado ($C_{p\uparrow}^+ C_{-p\downarrow}$):



Ou, removendo os "pernas", tem a cara de uma auto-energia:



$$\boxed{\Lambda(K, p) = -V_{\text{eff}}^{\text{RPA}}(K-p) + \frac{1}{V_{00}\beta} \sum_q V_{\text{eff}}^{\text{RPA}}(K-q) G_{\uparrow}^{(0)}(q) G_{\downarrow}^{(0)}(-q) \Lambda(q, p)}$$

Para simplificar (bastante) o cálculo, tomamos a seguinte forma para

V_{eff} no cálculo de Λ : $\boxed{V_{\text{eff}}^{\text{RPA}}(q) \rightarrow -V \theta(iq_n) - \omega_D}$ com base nas seguintes considerações:

- 1) Como ω_q tem dispersão de fôrmas acústicas, podemos usar um modelo de Debye com uma densidade de fôrmas $D_{\text{Debye}}(\epsilon) \propto \epsilon^2$ e com "preenchimento" até $\omega_q = \omega_D$ (ω_D é um parâmetro do modelo agora).
- 2) Para frequências baixas de ω_q , a interação será atrativa. No entanto, a densidade de fôrmas vai rapidamente a zero, de modo que só terá uma contribuição efetiva para $V_{\text{eff}}^{\text{RPA}}$ das fôrmas com $\omega_q \approx \omega_D$. Logo, a substituição $\omega_q \rightarrow \omega_D$ em V_{eff} .
- 3) Para $\omega > \omega_D$ $V_{\text{eff}}^{\text{RPA}}(q, \omega)$ é, essencialmente, $V(q, \omega)$, e conhecemos o resultado: "blindagem" eletrônica. Queremos focar em $V_{\text{eff}} < 0$, logo $\boxed{V \rightarrow V_{\text{eff}} - V^{\text{RPA}}}$

Considerammos então a interação efetiva como sendo:

$$V_{\text{eff}}^{\text{BCS}}(\vec{q}, i\omega_n) = \begin{cases} -V & |i\omega_n| < \omega_D \\ 0 & |i\omega_n| > \omega_D \end{cases}$$

de modo que a soma sobre $\vec{q} = (\vec{q}, i\omega_n)$ fice:

$$\Lambda(\vec{k}, \vec{p}) = V + \frac{1}{\beta} \sum_{i\omega_n}^{\omega_D} \sum_{\vec{q}} V G_{\uparrow}^{(0)}(\vec{q}, i\omega_n) G_{\downarrow}^{(0)}(-\vec{q}, -i\omega_n) \Lambda(\vec{q}, \vec{p})$$

que nos depende mais de $\vec{k}, i\omega_n$. Por conservações de momento (e consistência), Λ também nos pode depender de \vec{p} , de modo que teríamos como sendo uma constante.

Resolvendo para Λ (algebricamente), obtemos:

$$\boxed{\Lambda = \frac{V}{1 - \frac{V}{V\beta} \sum_{i\omega_n}^{\omega_D} \sum_{\vec{q}} G_{\uparrow}^{(0)}(\vec{q}, i\omega_n) G_{\downarrow}^{(0)}(-\vec{q}, -i\omega_n)}}$$

sendo

$$\left\{ \begin{array}{l} G_{\sigma}^{(0)}(\vec{q}, i\omega_n) = \frac{1}{i\omega_n - \epsilon_{\vec{q}}} \\ \omega_n = \frac{2\pi}{\beta}(n + \frac{1}{2}) = \frac{\pi}{\beta}(2n + 1) \\ \epsilon_{\vec{q}} \propto q^2 \end{array} \right.$$

podemos fazer a soma do denominador:

$$\begin{aligned} S(\beta) &= \frac{V}{\beta} \sum_{i\omega_n}^{\omega_D} \frac{1}{V} \sum_{\vec{q}} \frac{1}{(i\omega_n - \epsilon_{\vec{q}})[(-i\omega_n) - \epsilon_{\vec{q}}]} = \boxed{\text{usando:} \quad \left(\frac{1}{V} \sum_{\vec{q}} \rightarrow \int \frac{d^3 \vec{q}}{(2\pi)^3} \rightarrow \int d(E) dE \right) = \frac{1}{2} \int_{-\infty}^{\infty} d(E) dE} \\ &= \frac{V}{\beta} \sum_{i\omega_n}^{\omega_D} \int_{-\infty}^{\infty} \frac{dE}{\epsilon_{\vec{q}}^2 + E^2} \cdot \frac{d(E_F)}{2} = \frac{1}{2} V d(E_F) \sum_{n=0}^{N_D-1} \frac{\pi}{\pi(2n+1)} \quad \text{onde } N_D = \frac{\beta \omega_D}{2\pi} - 1 \\ &\quad \approx \frac{d(E_F)}{2} \int_{-\infty}^{\infty} dE \quad n_D = \frac{\beta \omega_D}{2\pi} - 1 \\ &\quad \approx \frac{\pi}{2} \quad n_D \gg 1 \rightarrow \sum_{n=0}^{N_D-1} \frac{1}{2n+1} \approx \frac{\pi}{2} \end{aligned}$$

$$\boxed{S(\beta) \approx \frac{V d(E_F)}{2} \ln \left(\frac{4 \beta \omega_D}{2\pi} \right)}$$

Assim, existe uma temperatura crítica T_c tal que $S=1$ e o denominador de Λ vai a zero, ou seja, $\Lambda \rightarrow \infty$. Essa temperatura será dada por $S(\beta_c) = 1$ ou seja:

$$\frac{\beta_c \omega_D}{2\pi} = e^{\frac{2}{Vd(E_F)}} \Rightarrow K_B T_c = \frac{\hbar \omega_D}{2\pi} e^{-\frac{2}{Vd(E_F)}}$$

nesse modelo simpler

Para $\beta \omega_D \ll 1$, nós temos $\Lambda \approx V$ pois $S(\beta) \ll 1$ e a repulsão é dominante. Isso equivale a $T > T_c$. Para $T \rightarrow T_c$, Λ diverge (e depois muda de sinal para $T < T_c$). Essa divergência no vértice entre pares é chamada de "instabilidade de Cooper" e tem uma interpretação física clara: sinaliza uma transição de fase para um novo estado onde é energeticamente favorável aos elétrons formarem pares bosônicos $C_{K\uparrow}^+ C_{K\downarrow}^+$, o que efectivamente elimina o caráter metálico (fermionico) do sistema. Esse será o estado supercondutor.

Note que T_c pode ser pequena, muito menor que $\hbar \omega_D$ devido ao fator exponencial $e^{-\frac{2}{Vd(E_F)}}$. Tipicamente em metais, temos $\hbar \omega_D \approx 100\text{K}$ enquanto que $T_c \sim 1\text{K}$.

Teoria BCS: Pares de Cooper

Os pares de Cooper são os "elementos básicos" (ou quasipartículas)

da teoria BCS que descreve a supercondutividade. Escrevemos esse estado como:

$$\Psi_{cp}(\vec{r}_1, \vec{r}_2) = \sum_{|\vec{k}| > k_F} \alpha_{\vec{k}} e^{i\vec{k} \cdot \vec{r}_1} e^{-i\vec{k} \cdot \vec{r}_2} C_{\vec{k}\uparrow}^+ C_{-\vec{k}\downarrow} | \Psi_0 \rangle = \langle \vec{r}_1, \vec{r}_2 | \Psi_{cp} \rangle$$

onde

$$|\Psi_{cp}\rangle = \sum_{|\vec{k}| > k_F} \alpha_{\vec{k}} |CP\vec{k}\rangle \quad ; \quad |CP\vec{k}\rangle = C_{\vec{k}\uparrow}^+ C_{-\vec{k}\downarrow}^+ | \Psi_0 \rangle$$

Se introduzirem um Hamiltoniano $H_{cp} = H_0 + V_{eff}^{BCS}$ tal que

$$H_0 = \sum_{\vec{k}' > k_F} (\bar{\epsilon}_{\vec{k}'} - \mu) C_{\vec{k}'\uparrow}^+ C_{\vec{k}'\downarrow} = \sum_{\vec{k} > k_F} \bar{\epsilon}_{\vec{k}} C_{\vec{k}\uparrow}^+ C_{\vec{k}\downarrow} \quad (\text{a } T=0 \mu = E_F)$$

nos informa das energias de excitação (elétrons) ocupando estados "vacios" sendo $\bar{\epsilon}_{\vec{k}}$ medida acima da energia de Fermi. Temos que

$$H_0 |CP\vec{k}\rangle = 2\bar{\epsilon}_{\vec{k}} |CP\vec{k}\rangle , \text{ que mede a energia cinética do par.}$$

Para o potencial $V_{eff}^{BCS} = -V \Theta(\omega - \omega_D)$ temos

$$\langle CP\vec{k}' | V_{eff}^{BCS} | CP\vec{k} \rangle = -V w_{\vec{k}'} w_{\vec{k}}, \text{ tal que} \begin{cases} w_{\vec{k}} = 1 \text{ p/ } |\bar{\epsilon}_{\vec{k}}| < \omega_D \\ w_{\vec{k}} = 0 \text{ p/ } |\bar{\epsilon}_{\vec{k}}| > \omega_D \end{cases}$$

É possível mostrar (Listão!) que $H_{cp} |\Psi_{cp}\rangle = E_{cp} |\Psi_{cp}\rangle$ com

$$E_{cp} = -2\omega_D \left(\exp\left(\frac{2}{Vd(E_F)}\right) - 1 \right)^{-1}$$

ou seja, $E_{cp} < 0$ para V arbitrariamente pequeno. Para $Vd(E_F) \ll 1$, temos

$$|E_{cp}| \equiv \Delta_{cp} \approx 2\omega_D e^{-\frac{2}{Vd(E_F)}} \quad \text{que é o "golfo" p/ se formar um par de Cooper.}$$

Teoria BCS: Hamiltoniano efetivo e campo médio

Uma vez entendido o mecanismo básico de formação das pares de Cooper, fica natural a descrição em termos do Hamiltoniano efetivo:

$$H_{BCS} = \sum_{\vec{k}\sigma} \bar{E}_{\vec{k}} C_{\vec{k}\sigma}^+ C_{\vec{k}\sigma} + \sum_{\vec{K}\vec{k}'} V_{\vec{K}\vec{k}'} C_{\vec{K}\uparrow}^+ C_{-\vec{K}\downarrow} C_{-\vec{k}'\downarrow}^+ C_{\vec{k}'\uparrow}$$

onde $V_{\vec{K}\vec{k}} = -V$ para estados com energia de partícula única $\bar{E}_{\vec{k}}, \bar{E}_{\vec{k}'} < \text{WD}$.
(Hartree-Fock)

Consideremos a soluções de campo médio para esse Hamiltoniano:

$$\begin{aligned} H_{BCS}^{MF} = & \sum_{\vec{k}\sigma} \bar{E}_{\vec{k}} C_{\vec{k}\sigma}^+ C_{\vec{k}\sigma} + \sum_{\vec{K}\vec{k}'} V_{\vec{K}\vec{k}'} C_{\vec{K}\uparrow}^+ C_{-\vec{K}\downarrow}^+ \langle C_{-\vec{k}'\downarrow} C_{\vec{k}'\uparrow} \rangle \\ & + \sum_{\vec{K}\vec{k}'} V_{\vec{K}\vec{k}'} C_{-\vec{k}'\downarrow} C_{\vec{k}'\uparrow} \langle C_{\vec{K}\uparrow}^+ C_{\vec{k}\downarrow} \rangle \end{aligned}$$

que escrevemos na forma:

$$H_{BCS}^{MF} = \sum_{\vec{k}\sigma} \bar{E}_{\vec{k}} C_{\vec{k}\sigma}^+ C_{\vec{k}\sigma} - \sum_{\vec{K}} (\Delta_{\vec{K}}^+ C_{\vec{K}\uparrow}^+ C_{-\vec{K}\downarrow} + \Delta_{\vec{K}}^- C_{-\vec{K}\downarrow} C_{\vec{K}\uparrow})$$

onde

$$\Delta_{\vec{K}}^{\pm} = \sum_{\vec{K}\vec{k}'} (-V_{\vec{K}\vec{k}'}) \langle C_{-\vec{k}'\downarrow} C_{\vec{k}'\uparrow} \rangle \Rightarrow \Delta_{\vec{K}}^{\pm} = \sum_{\vec{K}\vec{k}'} (-V_{\vec{K}\vec{k}'}) \langle C_{\vec{K}'\uparrow}^+ C_{-\vec{k}'\downarrow} \rangle$$

e o termo constante $\sum_{\vec{K}\vec{k}'} V_{\vec{K}\vec{k}'} \langle C_{\vec{K}\uparrow}^+ C_{\vec{k}\downarrow} \rangle \langle C_{\vec{k}'\downarrow} C_{\vec{k}'\uparrow} \rangle$ não interfere no resultado.

Como vimos na Lata 1, Hamiltonianos do tipo H_{BCS}^{MF} podem ser resolvidos por uma Transformação de Bogoliubov:

$$\left\{ \begin{array}{l} \gamma_{\vec{K}\uparrow} = U_{\vec{k}} C_{\vec{K}\uparrow} + U_{\vec{k}} C_{-\vec{K}\downarrow}^+ \\ \gamma_{-\vec{K}\downarrow}^+ = -U_{\vec{k}}^* C_{\vec{K}\uparrow} + U_{\vec{k}} C_{-\vec{K}\downarrow}^+ \end{array} \right. \Rightarrow \begin{pmatrix} \gamma_{\vec{K}\uparrow} \\ \gamma_{-\vec{K}\downarrow}^+ \end{pmatrix} = \begin{pmatrix} U_{\vec{k}} & U_{\vec{k}} \\ -U_{\vec{k}}^* & U_{\vec{k}} \end{pmatrix} \begin{pmatrix} C_{\vec{K}\uparrow} \\ C_{-\vec{K}\downarrow}^+ \end{pmatrix} \text{ ou } \text{ a transf. inversa:}$$

$$\begin{pmatrix} C_{\vec{K}\uparrow} \\ C_{-\vec{K}\downarrow}^+ \end{pmatrix} = \begin{pmatrix} U_{\vec{k}} & -U_{\vec{k}} \\ U_{\vec{k}}^* & U_{\vec{k}}^* \end{pmatrix} \begin{pmatrix} \gamma_{\vec{K}\uparrow} \\ \gamma_{-\vec{K}\downarrow}^+ \end{pmatrix}$$

E' possível mostrar (List) que o Hamiltonians fica

na forma diagonal

$$H_{BCS}^{MF} = \sum_{\vec{K}} E_{\vec{K}} (\gamma_{\vec{K}\uparrow}^+ \gamma_{\vec{K}\uparrow} + \gamma_{\vec{K}\downarrow}^+ \gamma_{\vec{K}\downarrow}) + \text{cte} \quad \text{onde}$$

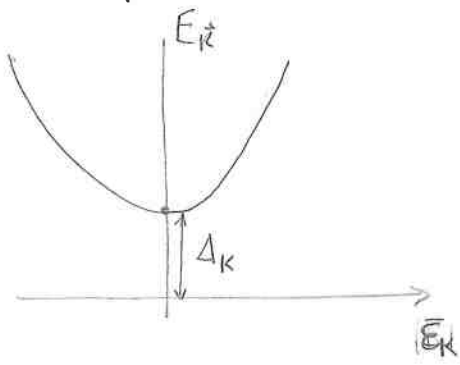
as energias são dadas por

$$E_{\vec{K}} = \sqrt{\bar{E}_{\vec{K}}^2 + |\Delta_{\vec{K}}|^2}$$

e $U_{\vec{K}}$, $V_{\vec{K}}$ são dados por

$$\begin{cases} |U_{\vec{K}}|^2 = \frac{1}{2} \left(1 + \frac{\bar{E}_{\vec{K}}}{E_{\vec{K}}} \right) \\ |V_{\vec{K}}|^2 = \frac{1}{2} \left(1 - \frac{\bar{E}_{\vec{K}}}{E_{\vec{K}}} \right) \end{cases}$$

Temos então o espectro descrito em termos de operador fermionico $\gamma_{\vec{K}\sigma}$, cuja partícula relacionada $\gamma_{\vec{K}\sigma}|0\rangle$ é denominada bogoliubon



Sendo $\bar{E}_{\vec{K}} = \frac{\hbar^2 K^2}{2m}$ (tipicamente), $E_{\vec{K}}$ vai apresentar um gap de magnitude $\Delta_{K=0}$ em $|\vec{K}| = K_F$. Daí se joga,

não há estados disponíveis para excitações (bogoliubons). Com energias menores que $\Delta_{K=0}$ acima da energia

de Fermi: o sistema claramente deixa de ser um metal.

E' possível escrever uma equação auto-consistente para determinar Δ_K :

$$\begin{aligned} \Delta_K &= \sum_{\vec{K}'} (-V_{K'K'}) \langle C_{-\vec{K}'\downarrow} C_{\vec{K}\uparrow} \rangle = \sum_{\vec{K}'} (-V_{K'K'}) \langle (U_{K'}^* \gamma_{-\vec{K}'\downarrow} - V_{K'} \gamma_{K'\uparrow}^*) (U_{K'}^* \gamma_{\vec{K}\uparrow} + V_{K'} \gamma_{-\vec{K}'\downarrow}^*) \rangle \\ &= \sum_{\vec{K}'} (-V_{K'K'}) \left(U_{K'}^* U_{K'} \underbrace{\langle \gamma_{-\vec{K}'\downarrow} \gamma_{-\vec{K}'\downarrow}^* \rangle}_{N_F(E_{K'})} - V_{K'} U_{K'}^* \underbrace{\langle \gamma_{K'\uparrow}^* \gamma_{K'\downarrow} \rangle}_{N_F(E_{K'})} \right) \\ &= \sum_{\vec{K}'} (-V_{K'K'}) U_{K'}^* U_{K'} \left(1 - 2 N_F(E_{K'}) \right) \end{aligned}$$

sendo que $U_{K'}^*$, $V_{K'}$ e $E_{K'}$ dependem de Δ_K .

Um outro modo de se obter uma equação auto-consistente para Δ_K é usando função de Green e equação de movimento (com fórmulas anteriores).

Definir as seguintes funções de Green de Matsubara:

$$G_{\uparrow\uparrow}(\vec{k}, \tau) = -\langle T_\tau (c_{\vec{k}\uparrow}(\tau) c_{\vec{k}\uparrow}^+(\tau)) \rangle \quad (\text{particular})$$

$$F_{\downarrow\uparrow}(\vec{k}, \tau) = -\langle T_\tau (c_{-\vec{k}\downarrow}^+(\tau) c_{\vec{k}\uparrow}^+(\tau)) \rangle \quad (\text{parcer})$$

Note que a função $F_{\downarrow\uparrow}$ envolve termos que não conservam o número de particular com um dado \vec{k} e spin. Isso é uma característica do modelo de campo médio (e ^{mais} do próprio Hamiltoniano de BCS, embora, globalmente, o número total de particular é conservado).

Escrevendo as equações de movimento usando H_{BCS}^{MF} , obtemos:

$$\begin{cases} \frac{\partial}{\partial \tau} G_{\uparrow\uparrow}(\vec{k}, \tau) = -\delta(\tau) - \bar{\epsilon}_K G_{\uparrow\uparrow}(\vec{k}, \tau) + \Delta_K F_{\downarrow\uparrow}(\vec{k}, \tau) \\ \frac{\partial}{\partial \tau} F_{\downarrow\uparrow}(\vec{k}, \tau) = -\bar{\epsilon}_K F_{\downarrow\uparrow}(\vec{k}, \tau) + \Delta_K^* G_{\uparrow\uparrow}(\vec{k}, \tau) \end{cases}$$

Ou, no espaço de frequência: $\boxed{(G(\vec{k}, ik_n) = \int_0^\beta d\tau e^{ik_n \tau} G_{\uparrow\uparrow}(\vec{k}, \tau))}$

$$\begin{cases} (-ik_n + \bar{\epsilon}_K) G_{\uparrow\uparrow}(\vec{k}, ik_n) = -1 + \Delta_K F_{\downarrow\uparrow}(\vec{k}, ik_n) \\ (-ik_n - \bar{\epsilon}_K) F_{\downarrow\uparrow}(\vec{k}, ik_n) = \Delta_K^* G_{\uparrow\uparrow}(\vec{k}, ik_n) \quad ("fechado") \end{cases}$$

que podem ser resolvidas e obtém:

$$\begin{cases} G_{\uparrow\uparrow}(\vec{k}, ik_n) = \frac{-ik_n + \bar{\epsilon}_K}{(ik_n)^2 - (\bar{\epsilon}_K^2 + |\Delta_K|^2)} \\ F_{\downarrow\uparrow}(\vec{k}, ik_n) = \frac{-\Delta_K^*}{(ik_n)^2 - (\bar{\epsilon}_K^2 + |\Delta_K|^2)} \end{cases}$$

pôr em
 $ik_n = \pm E_K = \pm \sqrt{\bar{\epsilon}_K^2 + |\Delta_K|^2}$

(9)

A auto-consisténcia entre relacionando Δ_K e $F_{\downarrow\uparrow}$:

$$\Delta_K = \sum_{K'} (-V_{KK'}) \langle C_{-K'\downarrow} C_{K'\uparrow} \rangle = V \sum_{K'} F_{\downarrow\uparrow}^*(\vec{K}, \omega = 0^+)$$

$$\Delta_K = - \sum_{K'} \frac{1}{\beta} \sum_{iK_n} \frac{V_{KK'} \Delta_{iK_n} e^{-iK_n 0^+}}{(iK_n)^2 - (\bar{\epsilon}_n^2 + \Delta_{iK_n}^2)} = \left(\frac{1}{(iK_n)^2 - E_K^2} = \frac{-\frac{1}{2}E_K}{(iK_n) + E_K} + \frac{\frac{1}{2}E_K}{(iK_n) - E_K} \right) =$$

(polissomática)

$$= - \sum_{K'} V_{KK'} \Delta_{iK_n} \left[\frac{1}{\beta} \sum_{iK_n} \left(\frac{-\frac{1}{2}E_K}{(iK_n) - (-E_K)} \right) + \frac{1}{\beta} \sum_{iK_n} \left(\frac{\frac{1}{2}E_K}{(iK_n) - E_K} \right) \right] = \begin{pmatrix} \text{Soma de} \\ \text{Matrizes} \end{pmatrix} =$$

$$\boxed{\Delta_K = - \sum_{K'} V_{KK'} \Delta_{iK_n} \left(\frac{N_F(-E_K)}{-2E_K} + \frac{N_F(E_K)}{2E_K} \right)} // \text{onde } E_K = \sqrt{\bar{\epsilon}_n^2 + \Delta_{iK_n}^2}$$

Agora assumimos que Δ_K não depende de K , o que ocorre se $V_{KK'} = V$ como temos assumido. Isso é o chamado "s-wave pairing" em que $\Delta_K = \Delta_0$ é "esférico" no espaço \vec{K} .

Temos, fazendo $\Delta_K \rightarrow \Delta_0$, a seguinte eq de auto-consisténcia (transcendental)

$$1 = -V \sum_{K'} \frac{1 - 2N_F(E_K)}{2E_K} = V d(E_F) \int_{-\infty}^{\infty} d\bar{\epsilon}_K \frac{\tanh\left(\frac{\beta}{2}\sqrt{\bar{\epsilon}_K^2 + \Delta_0^2}\right)}{2\sqrt{\bar{\epsilon}_K^2 + \Delta_0^2}}$$

e Δ_0 pode ser determinada numericamente por essa equação (vide abaixo),

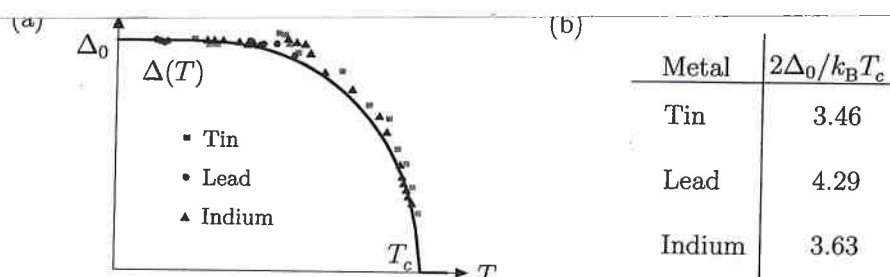


FIG. 18.4. (a) A sketch showing measured values of the gap parameter for three different metals compared to the BCS predictions. To the left the temperature dependence is shown as it follows from the BCS gap equation in Eq. (18.28) together with experimental values. (b) A table of the measured value of the ratio between twice the gap at zero temperature and critical temperature, determined from tunneling measurements. The theoretical BCS value is 3.53 as stated in Eq. (18.33).

Alguns comentários adicionais.

- Para $T \rightarrow 0$ ($\beta \rightarrow \infty$), temos $\tanh\left(\frac{\beta}{2} E_F\right) \rightarrow 1$ de modo que o gap é dado

$$I = Vd(E_F) \int_0^{w_D} \frac{dE}{\sqrt{E^2 + \Delta_0^2}} = Vd(E_F) \operatorname{sech}^{-1}\left(\frac{w_D}{\Delta_0}\right) \text{ ou}$$

$$\frac{w_D}{\Delta_0} = \operatorname{sech}\left(\frac{1}{Vd(E_F)}\right) = \frac{e^{\frac{Vd(E_F)}{2}} - e^{-\frac{Vd(E_F)}{2}}}{2} \quad Vd(E_F) \ll 1 \approx \frac{e^{\frac{Vd(E_F)}{2}}}{2}$$

Logo, no regime de acoplamento fraco, temos:

$$\Delta_0 = 2w_D e^{-\frac{Vd(E_F)}{2}}$$

que é o resultado para o "ganho" de energia pela formação do par de Cooper.

- A transição da fase marcada pela instabilidade de Cooper ocorre em uma temperatura T_c em que $\Delta_0(T=T_c) \rightarrow 0$. Nesse caso, a entropia \downarrow

$$I = Vd(E_F) \int_0^{w_D} \frac{\tanh\left(\frac{\beta_c}{2} E\right)}{E} dE = Vd(E_F) \int_0^{\frac{\beta_c w_D}{2}} \frac{du \tanh(u)}{u} = \begin{cases} \text{(integrandos} \\ \text{por} \\ \text{partes} \end{cases}$$

$$= Vd(E_F) \left(\ln\left(\frac{w_D}{2k_B T_c}\right) - \int_0^{\frac{\beta_c w_D}{2}} du \ln(u) (\coth(u))^2 \right) -$$

Para $K_B T_c \ll w_D$, ($\frac{\beta_c w_D}{2} \gg 1$), a segunda integral tende

$$\int_0^{\infty} \frac{\ln(u)}{(u)^2} = \ln \frac{\pi}{\Gamma(3/2)} = \gamma - \gamma$$

onde γ é o constante de Euler $\gamma \approx 0,577$, logo

$$\ln\left(\frac{w_D}{2K_B T_c} \cdot \frac{\pi}{\Gamma(3/2)}\right) = \frac{1}{Vd(E_F)} - \gamma \Rightarrow \left\{ K_B T_c = \frac{2w_D}{\pi} e^{-\frac{Vd(E_F)}{2}} \cdot e^\gamma \right\} \text{ ou seja}$$

$$K_B T_c = \frac{e^\gamma}{\pi} \Delta_0 \approx 0,567 \Delta_0 \text{ em uma outra forma: } \left\{ \frac{2\Delta_0}{K_B T_c} = 3.53 \right\}$$

que não envolve parâmetros livres e é uma forte predição do modelo BCS.

De fato, a concordância com os experimentos é excelente (veja tabela anterior).